

大阪大学工学部
大阪大学工学部正会員 松井 保
正会員 阿部 信晴

1 まえがき

粘性土は顕著な時間依存性挙動を示し、これが基礎地盤や工構造物の変形および安定性に大きな影響を与えることは良く知られています。したがって、粘性土の变形挙動を境界値問題として解析し、的確に予測するためには、粘土性の弾塑性特性と時間依存特性の両者を考慮した弾塑性構成式の確立が不可欠である。本報告では、流動曲面理論に基づく正規圧密粘土の弾/粘塑性構成式を提案していきます。

2 流動曲面理論

流動曲面理論は、弾塑性理論と同様な理論構成の中に時間依存性の内部変数や粘性効果を表現する内部変数を導入することによって、時間とともに変化する降伏曲面という概念に基づいて構成されています。

いま、時間依存性の内部変数を w とすれば、流動曲面は次式で表わされます。

$$f = f \{ \delta_{ij}, \varepsilon_{ij}^{pp}, K, w(\delta_{ij}, \eta) \} = 0 \quad (1)$$

または、

$$f = f \{ \delta_{ij}, \varepsilon_{ij}^{pp}, K, \eta \} = 0 \quad (2)$$

ここに、 δ_{ij} , ε_{ij}^{pp} , K , η はそれぞれ有効応力テンソル、粘塑性係数テンソル、ひずみ硬化パラメータ、時間七のめの関数であるパラメータである。そして、流動曲面理論による弾/粘塑性構成関係式は次式で与えられる。

$$\dot{\varepsilon}_{ij} = H \delta_{ij} \delta_{mn} + h \left(\frac{\partial f}{\partial \delta_{mn}} \delta_{mn} + \frac{\partial f}{\partial t} \frac{d\eta}{dt} \right) \frac{\partial \eta}{\partial \delta_{ij}} \quad (3)$$

ここで、

$$h = - \left\{ \frac{\partial f}{\partial \delta_{mn}} \frac{\partial \eta}{\partial \delta_{mn}} + \frac{\partial f}{\partial K} K \left(\frac{\partial \eta}{\partial \delta_{mn}} \right) \right\}^{-1} \quad (4)$$

また、 η は粘塑性ポテンシャル関数である。

したがって、流動曲面モデルを構成するためには流動曲面（曲面） f と粘塑性ポテンシャル関数 η を決定することが必要であるが、著者らは既に次行方程式による流動曲面の誘導手法を提案しています。^{3), 4)}

3 正規圧密粘土の次行方程式と流動曲面

正規圧密粘土の流動曲面モデルとして、粘塑性体積ひずみ ε^p をひずみ硬化パラメータとする等方硬化モデルを考える。そして、時間依存性の内部変数として粘塑性体積ひずみ ε^p を用い、その次行方程式を次式に基づいて誘導する。すなわち、正規圧密粘土の体積フリーパラメータが少くの場合、次式によつて表現されることが多い。

$$\dot{\varepsilon}^c = \frac{\dot{\varepsilon}^p}{(1 + \beta \dot{\varepsilon}) \lambda + 1} \quad (5)$$

ここに、 $\dot{\varepsilon}^p$, $\dot{\varepsilon}^c$ は体積フリーパラメータの初期値である。また、

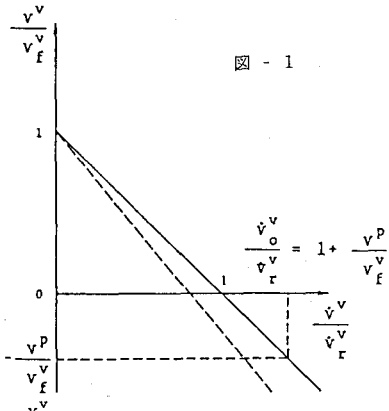


図-1

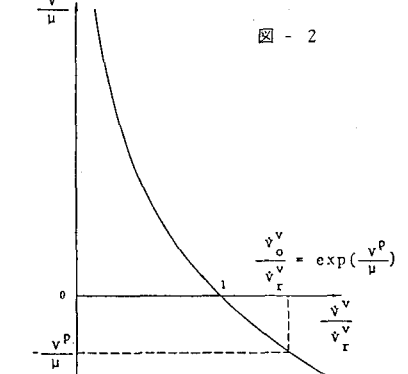


図-2

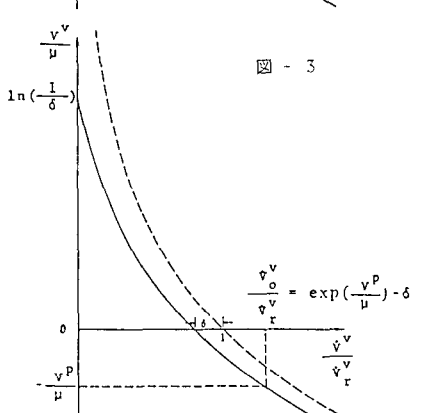


図-3

では経過時間であり、 α 、 β は材料定数である。

(5)式を粘性体積ひずみに換算する関係式と見なせば
これに基づいて粘性体積ひずみ ν^P の移行方程式は
次のように導かれる。

$$\alpha \neq 0, \frac{\nu^P}{(\nu_r)^P} = 1 - (1 + \beta t) \frac{\nu^P}{\nu_r^P} \quad (6)$$

$$\alpha = 0, \frac{\nu^P}{\mu} = -\ln\left(\frac{\nu^P}{\nu_r^P}\right) \quad (7)$$

ここで、 α 、 β 、 μ は材料定数であり、 ν_r^P は基準粘

性体積ひずみ速度である。図-1、2はこれららの移行曲線を示したものであるが、図-1の破壊線はこれらの移行曲線が時間とともに変化することを示している。(6)式、(7)式の移行方程式から、著者らが提案している誘導手法によつてそれぞれ次式の流動曲面が得られる。

$$\alpha \neq 0, f = \left(\frac{\nu^P}{\alpha \beta} + \nu^P \right) \left\{ 1 - \frac{1}{(1 + \beta t)^P} \right\} - \nu^P = 0 \quad (8)$$

$$\alpha = 0, f = \mu \ln \left\{ 1 + \left(\frac{\nu^P}{\mu t} \right) \exp\left(\frac{\nu^P}{\mu}\right) \right\} - \nu^P = 0 \quad (9)$$

ここで、 ν^P は基準粘性体積ひずみ速度 ν_r^P によつて規定された基準粘性状態における体積ひずみであり、応力の実数として評価される。一方、図-3に示す移行曲線、すなわち(10)式によつて示された移行方程式から同様にして(11)式の流動曲面が得られる。

$$\frac{\nu^P}{\mu} = -\ln\left(\frac{\nu^P}{\nu_r^P} + \delta\right) \quad (10)$$

$$f = \mu \ln \left[\frac{1}{\delta} \left\{ \left\{ 1 - \exp\left(-\frac{\delta}{\mu} \nu^P t\right) \right\} \exp\left(\frac{\nu^P}{\mu}\right) + \delta \exp\left(-\frac{\delta}{\mu} \nu^P t\right) \right\} \right] - \nu^P = 0 \quad (11)$$

ここで、 δ は材料定数である。(8)式、(9)式、(11)式のいずれの流動曲面によつても正規圧密粘土の時間依存性挙動の表現は可能であるが、図-4はこれららの流動曲面を用いて行った一次元二次圧密解離結果を示したものである。(8)式によれば比較的多様な収束性の二次圧密特性を表現し得るこことがわかる。また、(9)式では沈下が時間の対数に比例して生じる非収束性の二次圧密特性が表現される。一方、(11)式では、初期には時間の対数に比例する沈下挙動を示す後、やがて収束する二次圧密特性が表現される。そして、沈下速度が比較的大きい領域にかける(9)式と(11)式によく沈下挙動はほとんど一致している。このような二次圧密特性の相違はこれららの流動曲面によつて表現される時間依存性挙動の一般的な特徴を反映している。すなわち、(8)式、(11)式が収束性の時間依存特性を示すのにに対して、(9)式は非収束性の時間依存特性を示す。これに図-1～3からも明らかのように移行曲線が粘性体積ひずみ軸と交わるか否かの相違によつている。一般に粘性体積ひずみ軸(式(6))と交わらない移行曲線からなる流動曲面モデルは収束性の時間依存性挙動を示さない。また、(9)式と(11)式によく時間依存性挙動の類似性は図-3に示された移行曲線の形状からも明らかである。

参考文献

- 1) 松井昭郎：粘土の弾粘塑性構成式について、第18回土質工学研究発表会発表講演集
- 2) 松井昭郎：流動曲面理論による粘土の弾粘塑性構成式、土木学会第38回国次学術講演会講演概要集、第3部
- 3) 松井昭郎：講座 土の構成式入門 5. 弹塑性体力論上適用(その3)、工と基礎、Vol. 32, No. 1
- 4) 松井昭郎：正規圧密粘土の弾粘塑性構成式、第19回土質工学研究発表会発表講演集

